

بازسازی شرایط جریان آواری ماسوله تحت تأثیر بارندگی شدید

سعید هاشمی طباطبائی^۱، علی اکبر موسی‌وند^۲، سید محمد صفوی^۳ و بهمن اکبری^۴

^۱ مرکز تحقیقات ساختمان و مسکن، تهران، ایران

^۲ سازمان جنگل‌ها، مراتع و آبخیزداری کشور، تهران، ایران

تاریخ پذیرش: ۱۳۸۹/۰۳/۱۰ تاریخ دریافت: ۱۳۸۸/۰۲/۳۰

چکیده

زمین لغزش و سیل از جمله بلایای طبیعی هستند که هر یک به نوعه خود باعث بروز خسارت و تلفات جانی و مالی فراوان می‌شوند. رخداد همزمان این دو پدیده می‌تواند منجر به جریان‌های واریزهای شود. با توجه به تکرار وقوع سیلاب‌های واریزهای در مناطق مختلف بویژه نواحی شمال کشور (نکا، ۱۳۸۱، ۱۳۸۰، ۱۳۸۴) و قدرت تخریبی فوق العاده و خسارات جانی و مالی فراوان، بررسی علل رخداد و عوامل مؤثر در تشکیل جریان واریزهای برای کاهش خسارات آن، ضروری و مفید به نظر می‌رسد. در این مقاله شرایط تشکیل جریان واریزهای مورد بحث قرار گرفته است. به دنبال یک رگبار شدید و به نسبت کوتاه، در شهر ماسوله سیلاب عظیمی جاری و به همراه خود مقادیر بسیار زیادی گل و لای و قطعات بزرگ سنگ موجود در مسیر را حمل و با انسداد پل ابتدای شهر، سیلاب به سوی خیابان اصلی منحرف و خسارات قابل توجهی به تأسیسات شهر و خودروهای موجود در حوضه، حدود ۴۰ درصد کل زیروحشه را تشکیل می‌دهند. حرکات تودهایی به صورت ریزش، لغزش و جریان نمودار می‌شوند. لغزش‌های سنگی در بخش خروجی حوضه (جنوب حوضه) به تهایی حدود ۲۵/۷ درصد از کل مساحت حوضه را در بر می‌گیرند. بهمنظور تعیین دبی به لحاظ حمل مصالح از روش‌های مختلف استفاده شد. پس از تجزیه و تحلیل روش‌ها و انتباخت آن با شرایط منطقه و اندازه‌گیری‌های صحرایی، بهترین روش برای محاسبه مقدار دبی جریان واریزهای انتخاب شد. نتایج بررسی‌های صحرایی نشان می‌دهد که مقاطع رودخانه در بالادست، برای عبور قطعات بزرگ سنگ مناسب نبوده و قطعه سنگ بزرگی که دهانه پل ابتدای شهر را مسدود و باعث انحراف جریان سیلاب به داخل شهر شده، از مصالح زمین لغزش بزرگ پایین دست تأمین شده است.

کلیدواژه‌ها:

جریان آواری، سیل، کanal، دبی، زمین لغزش، ماسوله

*نویسنده مسئول: سعید هاشمی طباطبائی

۱- مقدمه

از کشورهای فرانسه و سوئیس و Berti et al. (1999); Pasuto and Soldati (2004) از ایتالیا در کوه‌های آلپ گزارش شده است. شرایط تحریک جریان‌های آواری به طور عموم شامل تشکیل دبی بحرانی به وسیله بارندگی شدید و یا انسداد موقت کanal و سپس تخریب آن است (Cojean and Staub, 1992). بنابراین تحریک جریان‌های آواری توسط بارندگی مستگی به شرایط متعدد از جمله تأمین رسوبات دارد (Deganutti et al., 2000).

امروزه حوادث مربوط به وقوع جریان‌های واریزهای، تلفات و میزان خسارات آنها در کل جهان بسیار خوب مستندسازی شده‌اند. مناطق مستعد جریان‌های واریزهای از راه استفاده از اطلاعات مربوط به حوادث گذشته و بازدیدهای صحرایی می‌تواند مشخص شود. همچنین شناسایی محدوده خطر، برآورد شدت آن و تعیین پیشگویی‌های پارامترهای مؤثر برای استفاده در بررسی‌های خطرپذیری که در تدوین طرح‌های پیشگیری خطر مورد نیازند امری لازم و ضروری است.

مدل عددی Dambrk (2000) قادر است چگونگی شکست سدهای موقتی ایجاد شده در هنگام انتقال جریان واریزهای در یک بستر طبیعی به سمت پایین دست را شبیه‌سازی و شکل و میزان آن را به صورت عددی پیش‌بینی نماید. از آنجایی که رژیم جریان می‌تواند در مکان‌ها و زمان‌های مختلف بین مراحل زیر بحرانی و بالای بحرانی متغیر باشد پارامترهایی مانند دبی پیک، وزن مخصوص مخلوط، گرانزوی سیال، حجم مواد جامد تمرکز یافته برای تجزیه برگشت‌پذیری جریان در محل سدهای موقتی ایجاد شده در طول مسیر، مورد استفاده قرار می‌گردد. مدل یادشده همچنین قادر است مقدار دبی جریان واریزهای، دبی طغیانی ناشی از دیواره چپ و راست رودخانه به دلیل سقوط زمین لغزش‌ها، سرعت میانگین و وزن جریان در هر مقطع و زمان را بیان نماید.

تحقیقاتی برای شناسایی پتانسیل جریان‌های گلی و واریزهای حوضه آبخیز کن

مواد و مصالح از هم گستته تشکیل دهنده شبیه‌ها زمانی که توسط آب اشباع شوند، در نتیجه افزایش وزن، تحت تأثیر نیروی گرانش به صورت روانه‌های گلی و یا مخلوط گل و خاک و سنگ در امتداد شبیه‌ها به سمت پایین سرازیر می‌شوند و در هنگام حرکت به دلیل داشتن توان تخریبی بالا تمامی موائع و تأسیسات موجود بر سر راه مانند درخت‌ها، ساختمان‌ها، جاده‌ها و ... را تخریب نموده و با حمل مواد حاصل از تخریب دامنه به پایین، باعث انسداد دهانه پل‌ها و آبروها می‌شوند. تحقیقات بسیاری از پژوهشگران نشان می‌دهد که ترکیب بارندگی شدید و هوازدگی مصالح شبیه از ترویج شروع جریان‌های آواری بسیار مؤثر باشد، (Louvat and Allegre 1997; Gaillardet et al. 1999; Millot et al., 2002; Lyons et al., 2005). بروز یک لغزش کوچک، یک سد موقت کوچک در مسیر حرکت آب ایجاد نموده و انباسته شدن آب در پشت این سدهای کوچک باعث شکست آنها می‌شود. تکرار این عمل، افزون بر افزایش حجم آب، باعث افزایش قدرت تخریب آن شده و نیروی ابراهه‌ها شده در آن افزون بر کندن بستر، توسط زیرشوابی مصالح ناپایدار دو طرف آبراهه‌ها را نیز تخریب و به همراه خود به حرکت در می‌آورد. باز معلم موجود در این مرحله توان تخریبی بسیاری را دارا بوده به طوری که چگالی این مخلوط جامد و مایع در بعضی موارد تا بیش از ۲ تن در مترمکعب رسیده و سرعت آن نیز تا ۱۴ متر در ثانیه افزایش پیدا می‌نماید (Chiarle and Luino, 1998; Arattano, 2003).

یک حوضه کوچک با مساحت حدود ۱۷۶ هکتار، توسط جریان واریزهای در دره‌های آلپ ایتالیا تخریب شد (Chiarle and Luino, 1998) (ییشترين جریان واریزهای در ثانیه ایجاد شده (Chiarle and Luino, 1998) (ییشترين جریان پیش‌بینی شده (HEC-1) برای همین مقطع، ۱۹ مترمکعب در ثانیه بوده است. جریان‌های آواری با شرایط کم و پیش مشابه با محل مورد مطالعه، توسط Van Steijn et al. (1990); Zimmermann (1990); Rickermann & Zimmermann (1993)

کربناتی است. سنگ‌های کوارتزیت به لحاظ مقاومت بالا، دارای تراکم بالایی از درزهای زمین‌ساختی بوده و بسیار خرد شده هستند. سن این تشکیلات تریاس و مساحت آن $1/40$ هکتار است که شامل $5/5$ درصد از مساحت کل حوضه است.

۴-۴. واحد ماسه سنگ کنگلومرایی (CS)

این واحد در مرکز حوضه رخمنو و به صورت نواری با راستای شمال باخترا - جنوب خاور گسترش داشته و از سنگ نهشته‌های تخریبی مشابه سازند شمشک تشکیل شده است. از نظر سنگ‌شناسی شامل طبقات ستبر کنگلومرای نامگذش با گرددگی، کرویت و سخت شدگی خوب به همراه جور شدگی متوسط حاوی قطعات ماسه سنگ می‌باشد. وسعت این واحد حدود 151 هکتار و $22/5$ درصد مساحت حوضه را تشکیل می‌دهد. سن این واحد ژوراسیک است.

۴-۵. واحد سنگ آهک (Kln)

این واحد سنگی در باخترا و جنوب حوضه رخمنو داشته و شامل سنگ آهک ریزدانه به رنگ خاکستری روشن است که ویژگی آن وجود آمونیت است. سن آن کرتاسه (نحو کومین) است. مساحت این رخمنو سنگی $70/4$ هکتار و حدود $10/4$ درصد از سطح حوضه را تشکیل می‌دهد.

۴-۶. واحد رسوبات زمین لغزشی (Ls)

این رسوبات از نظر زمانی مربوط به دوران چهارم هستند. رسوبات زمین لغزشی حدود $25/9$ هکتار مساحت و $40/8$ درصد از مساحت حوضه را در بر می‌گیرند. حرکات توده‌ای حوضه شامل ریزش، لغزش و جریان هستند. در جدول ۲ خلاصه وضعیت واحدهای سنگی حوضه ارائه شده است. به طور کلی می‌توان نتیجه گرفت از نظر سنگ‌شناسی، منطقه مورد مطالعه کم و بیش از مصالح با مقاومت بالا تشکیل شده است.

۵- زمین لغزش‌های منطقه مورد بررسی

حرکات توده‌ای حوضه شامل ریزش، لغزش و جریان هستند. لغزش‌های سنگی در بخش جنوب حوضه به تهایی حدود $25/7$ درصد از کل مساحت حوضه را در بر می‌گیرند. رخداد زمین لغزش‌های کوچک در مصالح دو زمین لغزش Ls1 و Ls2 و بیوژه Ls1 عامل اصلی در رهاسازی قطعات سنگی بزرگ مدفعون در رسوبات این دو زمین لغزش است (شکل ۲). زمین لغزش‌های کوچک در حاشیه آبراهه اصلی و در زمان‌های سیلابی، بر اثر زیرشوابی و هچنین اشباع شدن مصالح زمین لغزشی Ls1 و Ls2 اتفاق می‌افتد. مصالح زمین لغزشی Ls1 مشاً گرفته از مصالح سنگی دگرگونی (Pzs)، آهکی (P) و به احتمال کنگلومرایی (Cs) است که در درون مصالح ریزدانه به صورت قطعات سنگی بسیار بزرگ مدفعون هستند. البته مصالح این زمین لغزش در ذرایق پیشتر از قطعات سنگی آهکی و کنگلومرایی تشکیل شده است. جدول ۳ ویژگی‌های زمین لغزش‌های حوضه خلیل دشت را ارائه می‌دهد. دلایل متعددی در رخداد زمین لغزش می‌تواند تأثیرگذار باشد. در حوضه خلیل دشت ماسوله عمده دلایل به ترتیب اهمیت شامل موارد زیر است.

۵-۱. عوامل ساختاری زمین‌شناسی

از عوامل ساختاری مهم در ایجاد لغزش می‌توان به جهت شب و مقدار شب طبقات زمین‌شناسی نسبت به توپوگرافی، میزان فاصله از محور تاقدیس‌ها و همچنین وضعیت دسته درزهای زمین‌ساختی اشاره نمود. در این حوضه لغزش‌های ایجاد شده در مصالح زمین‌شناسی آهک‌های پرمین و سنگ‌های دگرگونی پیشتر به علت هم جهت بودن شب طبقات زمین‌شناسی با توپوگرافی، تأثیر درزهای نزدیکی به محور تاقدیس واقع در جنوب باختری ماسوله اتفاق افتاده است.

۵-۲. زیرشوابی شب

زیرشوابی همواره باعث برهم خوردن تعادل نیروها و افزایش تنفس برشی در برابر

(شمال تهران) انجام گرفته است (Fatemi qomi, 2003). هدف اصلی این تحقیق، توجه بیشتر به جریانات گلی و واریزهای که در اثر دبی سیلابی بالا ممکن است روی دهد، می‌باشد. شناسایی ویژگی‌های زمین‌شناسی برای شناسایی وضعیت گلشته و حال حوضه به عنوان اولین نکته لازم و ضروری به نظر می‌رسد. وضعیت توپوگرافی، خاک، پوشش گیاهی و همچنین ویژگی‌های ریخت‌شناسی و اقلیمی برای معرفی شرایط حوضه مورد نیاز است.

۲- موقعیت و ویژگی‌های منطقه مورد بررسی

شهرستان ماسوله در باخترا استان گیلان (منطقه فومنات)، در فاصله 60 کیلومتری باخترا رشت و در محل تلاقی خروجی دو رودخانه خلیل دشت و دولی چال قرار دارد. این دو رودخانه پس از به هم پیوستن در ابتدای ماسوله تشکیل ماسوله رودخان را می‌دهند. شب اراضی در بخش جنوبی حوضه خلیل دشت بسیار تند بوده به طوری که در 5 کیلومتر، طول دره اصلی این زیرحوضه ، اختلاف ارتفاع به حدود 1800 متر می‌رسد و شبی در حدود 40 درصد را به وجود می‌آورد. شب زیاد حوضه باعث افزایش سرعت جریان شده و قدرت فرسایش و حمل واریزه را افزایش می‌دهد. مساحت حوضه دولی چال کم و بیش 5 برابر حوضه خلیل دشت، طول آبراهه اصلی آن بیش از 7 کیلومتر و شب کلی آن حدود 22 درصد بوده و نسبت به حوضه خلیل دشت از شدت سیل خیزی کمتری برخوردار است. بنابراین زیرحوضه خلیل دشت برای شهر ماسوله خط‌رساز بوده و در زمان رخداد سیلاب همواره بیشترین خسارت را به شهر وارد می‌نماید. در این مقاله وضعیت حوضه خلیل دشت مورد بررسی و تجزیه و تحلیل قرار گرفته است.

۳- پیشینه سیل‌های گذشته

به دلیل کوهستانی بودن منطقه و بارش رگبارهای شدید فصلی در اوایل تابستان و اوایل بهار، شهر ماسوله به صورت دائم در معرض رویداد سیل‌هایی است که منشأ آنها رودخانه و حوضه خلیل دشت است. تاریخ وقوع و خسارات گزارش شده سیل‌های گذشته در جدول ۱ ارائه شده است.

۴- چینه‌شناسی و سنگ‌شناسی منطقه

با توجه به نقشه‌های زمین‌شناسی، قدیمی ترین واحد سنگی منطقه واحد دگرگونی (Pzs) و جوان ترین آثار رسوبات زمین لغزشی است. در زیر شرح سازندگانی منطقه آورده شده است.

۴-۱. واحد دگرگونی (Pzs)

این واحد به صورت پراکنده در خاور، شمال و شمال باخترا حوضه گسترده شده است. از نظر سنگ‌شناسی مجموعه‌ای از فیلیت اسلیتی همراه کوارتزیت و کنگلومرای مربوط به پالنزویک بالایی است. این واحد در بیشتر نقاط توسط مصالح زمین لغزشی پوشیده شده است. مساحت این واحد سنگی $57/8$ هکتار و معادل $8/5$ درصد از مساحت کل حوضه است (شکل ۱).

۴-۲. واحد سنگ آهک (P)

این واحد به صورت نواری با راستای جنوب خاور- شمال باخترا در مرکز حوضه گسترش دارد. جنس این واحد در اساس از سنگ آهک و سن آن مربوط به پرمین است. مساحت این واحد سنگی $82/2$ هکتار و حدود $12/1$ درصد از مساحت کل حوضه است (جدول ۲).

۴-۳. واحد کوارتزیت (T)

این واحد به صورت پراکنده در جنوب حوضه گسترش دارد. از نظر سنگ‌شناسی شامل کوارتزیت سفید تا خاکستری، با لایه‌های نازک شیل و سیلیستون توفی و

$$I = 14.82 * D^{(-0.39)}$$

(D) مدت بارندگی بر حسب ساعت و (I) شدت بارندگی بر حسب میلی متر در ساعت، به منظور برآورد شدت بارندگی مربوط به سیلاب سال ۱۳۷۷ ماسوله از این رابطه استفاده شد. مدت بارندگی در حدود ۲۰ دقیقه بوده است بنابراین شدت بارندگی دست کم ۲۳ میلی متر در ساعت برآورد می شود که حجم ریزش بر حوضه حدود ۴۸۰/۰۰۰ متر مکعب و میزان جریان احتمالاً به رقم ۳۶۰/۰۰۰ متر مکعب بالغ شده است. اما شدت سیلاب و دبی اوج و زمان دوام آن ارقام بزرگتری را ارائه می کند.

۶- بررسی سیلاب منطقه

یکی از مشکلات بسیار مهم حوضه آبخیز، شدت سیل خیزی آن است. شدت سیل خیزی همراه با ویژگی هایی مانند مقادیر سیلاب های با تواتر مختلف، میزان فراوانی وقوع سیلاب ها و تاریخچه اتفاقاتی که در گذشته در آن حوضه رخ داده است، از بارز ترین ویژگی های حوضه است. برای تعیین مقادیر دبی سیلاب از روش های مختلفی استفاده شده است که در ابتدا این روش ها تشریح و در انتها افزون نبر بررسی و تجزیه و تحلیل آنها، مناسب ترین روش برای تعیین مقادیر دبی سیلابی با در نظر گرفتن شرایط منطقه و مستند بر اندازه گیری های صحرایی، انتخاب شده است.

۶-۱. روش آماری

به منظور برآورد بیشترین سیلاب لحظه ای حوضه ای ابتدا از آمار ایستگاه موجود در منطقه که دارای طول دوره آماری متفاوت از ۱۵ سال تا ۴۱ سال است، استفاده شد. پس از بازسازی و تکمیل آمار در دوره زمانی مورد نظر، بر اساس استفاده از توزیع های آماری موجود، بر اساس روش تجزیه منطقه ای پس از انجام آزمون همگنی، ۵ ایستگاه دارای آمار مناسب برای استفاده در این روش بودند لذا در نهایت، با استفاده از آمار ۱۹ ایستگاه محاسبات مربوطه انجام و بر اساس رابطه همبستگی ایجاد شده بین مساحت و دبی، مقدار دبی حداقل سیلاب روزانه و حداقل لحظه ای با دوره بازگشت های مختلف برای حوضه خلیل دست محاسبه شد (جدول ۴).

۶-۲. برآورد سیلاب با استفاده از روش مانینگ

برای بررسی میزان بده اوج جریان واریزه ای، بررسی های میدانی (پیمایش صحرایی) و دفتری صورت گرفته است. برای تجزیه هیدرولیکی جریان آب در محدوده شهرک ماسوله نیاز به تهیه برش های عرضی رو دخانه بود. بر این اساس، با استفاده از آثار داغاب های به جا مانده از سیلاب، ۱۰ برش عرضی در نقاط مختلف رو دخانه اصلی خلیل دست مشخص و اندازه گیری شد. با تعیین ضریب زبری رو دخانه بر اساس بازدهی های صحرایی و با استفاده از روش شیب- سطح (فرمول مانینگ) بد اوج سیلاب در برش عرضی شماره یک (شکل ۸) ۵۱۹ متر مکعب بر ثانیه به دست آمد. بیان این نکته ضروری است که برای جلوگیری از افزایش ارتفاع داغاب سیل به دلیل برگشت آب، این مقطع در فاصله ۴۰۰ متر بالاتر از پل ورودی به ماسوله انتخاب شده است. چنین سیلابی باران مولد خود را بیش از ۲ برابر برآوردی با فرمول تجربی یاد شده معرفی می نماید.

۷- تعیین سرعت، بد اوج و حجم جریان برای سیلاب های واریزه ای

الف) برای تعیین سرعت جریان واریزه ای می توان از فرمول زیر استفاده کرد
(Richenman, 1991)

$$V = 1.3 \cdot q_0^{0.6} \cdot g^{0.2} / d_{50}^{0.4} \quad (1)$$

d_{50} = زاویه شیب بر حسب درجه g = شتاب نقل q_0 = میانگین اندازه ذرات

q_0 = دبی ویژه جریان که از رابطه زیر به دست می آید

مقاومت برشی مصالح دامنه می شود. بر اثر زیرشویی پاشنی شب توسط رو دخانه ها، تنش برشی افزایش یافته و در نتیجه لغزش اتفاق می افتد. این پدیده در طول آبراهه اصلی به شکل لغزش های سنگی و خاکی کوچک مقیاس به تعداد زیاد دیده می شود. در موقع سیلابی، شدت زیرشویی بویژه در محل پیچان رودها (میاندرها) افزایش یافته و در نتیجه احتمال رخداد زمین لغزش افزایش می یابد.

۷-۳. ارتفاع سطح آب زیرزیسي

وجود چشمehهای فراوان در دامنه ارتفاعات منطقه، نشانگر بالا بودن سطح آب زیرزمینی در این مناطق است. نفوذ آب به داخل مصالح شب باعث افزایش وزن کلی آنها شده و در نتیجه، تنش های برشی در برابر مقاومت برشی افزایش یافته و شب ناپایدار می شود. موقعیت زمین لغزش Ls1 در رابطه با شهرک ماسوله و رو دخانه های اطراف آن بر روی عکس هوایی ۱/۲۰۰۰۰ تشریح شده است (شکل ۳). همچنان که دیده می شود این زمین لغزش بین دو رو دخانه خلیل دشت در خاور و دولی چال در شمال قرار گرفته و به طور دائم در حال تخلیه رسوب به داخل این دو رو دخانه است. این زمین لغزش، تخته سنگ های بزرگ را در منطقه ورودی به شهر وارد رو دخانه کرده است (شکل ۴). وضعیت پوشش گیاهی مستقر بر روی آن که بیشتر از گیاهان یک ساله تشکیل شده گویای فعل بودن آن است.

۷-۴. فیزوگرافی حوضه

مساحت حوضه آبخیز خلیل دشت ۶۹۴ هکتار بوده که حدود ۲۴۷ هکتار آن اراضی جنگلی نیمه انبوه انبوه شکل داده است. اختلاف ارتفاع این حوضه ۱۸۰۰ متر، ارتفاع میانه ۱۸۵۰ متر و ارتفاع متوسط وزنی ۹۱۲ متر است. با استفاده از رابطه پیشنهادی کرپیچ (Kirpich)، زمان تمرکز لازم برای رسیدن رواناب از دورترین نقطه به خروجی حوضه معادل ۲۵/۲ دقیقه است.

شبیب عمومی حوضه از ۵ تا ۱۲۰ درصد متغیر بوده و شب متوسط وزنی حوضه معادل ۴۸ درصد و حدود ۹۱ درصد منطقه دارای شب بیشتر از ۲۰ درصد است شب آبراهه اصلی خلیل دشت از ۲۰ تا ۵۰ درصد متغیر و شب وزنی متوسط ۳۶ درصد است. در شکل های ۵ و ۶ به ترتیب منحنی هیسو متري شب- سطح حوضه و نیم رخ طولی آبراهه اصلی نشان داده شده است. آمار بارندگی ماهانه و سالانه ایستگاه های منطقه در طول دوره آماری مورد نظر نشان می دهد که افزون بر استمرار بارندگی در تمامی طول سال، بارش ماهانه ایستگاه های واقع در محدوده و خارج محدوده طرح از دو رژیم مختلف جلگه ای و کوهستانی پیروی نموده و در حقیقت ماه خشک وجود ندارد (شکل ۷). ایستگاه ماسوله که در ارتفاعات قرار دارد، به واسطه توپوگرافی متفاوت و نیز دوری از ساحل دریای خزر تا حدودی با میزان بارش ماهانه در ایستگاه هایی که در نواحی جلگه ای قرار دارند، متفاوت است. با استفاده از آمار بارندگی ایستگاه های باران سنگی موجود درون و مجاور حوضه و برقراری رابطه گردیدن بارندگی و ارتفاع مقدار بارش سالانه حوضه خلیل دشت معادل ۸۰۰ میلی متر برآورد شده است. شدت بارندگی نقش بسیار مهمی در تولید سیلاب و ایجاد فرسایش و قوع جریان های واریزه ای دارد. به منظور تعیین شدت و مدت بارندگی که منجر به ایجاد زمین لغزش ها و جریان های واریزه ای شده اند تحقیقات فراوانی در سطح جهان انجام گرفته است. یک بانک اطلاعات جهانی از اطلاعات ۲۶۲۶ واقعه بارندگی که منجر به زمین لغزش سطحی و جریان واریزه ای شده و در قالب یک مقاله تحقیقاتی گردآوری و تشکیل شده است. اطلاعات بارندگی و زمین لغزش برای به روز نمودن رابطه همبستگی بین میزان بارندگی و شدت متحمل آن که منجر به وقوع زمین لغزش و جریان واریزه ای شده توسط بسیاری از محققان مورد استفاده قرار گرفته است (Nel Caine, 1980) مختلف دنیا، رابطه ای برای شروع جریان آواری ارائه شده است (Caine, 1980).

$g = \text{شتاب ثقل} = \text{معادل} 9.81 \text{ است.}$

$V_s = \text{سرعت حمل بر حسب متر مکعب بر ثانیه}$

ابعاد یکی از سنگ‌های موجود در رودخانه خلیل داشت به شرح زیر است:

طول = ۴ متر (L) ارتفاع = ۲ متر (h) ارتفاع جریان = ۳ متر (d)

با استفاده از رابطه یادشده، سرعت حمل سنگ توسط جریان واریزه‌ای حدود

۷/۷ متر بر ثانیه خواهد بود. لذا جریان واریزه‌ای قدرت حمل سنگ‌های موجود در

بستر و دیواره‌های رودخانه و انتقال آنها به پایین دست را دارد.

۹- تجزیه و تحلیل نتایج

مساحت حوضه آبخیز خلیل دشت ۶۹۴ هکتار است که حدود ۲۴۷ هکتار آن از

اراضی جنگل نیمه انبوه است. اختلاف ارتفاع این حوضه ۱۸۰۰ متر، ارتفاع میانه

۱۸۵۰ متر و ارتفاع متوسط وزنی ۹۱۲ متر است. شب متوسط وزنی حوضه معادل

درصد و بیش از ۵۲ درصد مساحت حوضه در رده شب ۶۰-۳۰ درصد قرار دارد.

زمان تمرکز حوضه ۲۵ دقیقه و شب متوسط آبراهه اصلی معادل ۳۹ درصد است. این

مقادیر بیانگر پرشیب بودن حوضه خلیل دشت است. در حدود ۴۰ درصد از مساحت

حوضه تحت تأثیر حرکات دائمی قرار دارد.

بر اساس نتایج بررسی‌های صحرایی، ویژگی‌های حوضه از قبیل کوچک

بودن حوضه، کوتاه بودن طول رودخانه، کم بودن شب کلی در بالادست، وجود

پرتگاه‌های متعدد در طول مسیر حرکت آب، تنگ بودن مسیر رودخانه در بعضی

قسمت‌ها و حجم بودن سنگ‌ها، امکان حمل سنگ‌های بزرگ از قسمت‌های بالاتر

به پایین دست توسط آب، منتفی است (شکل ۱۰). این سنگ‌ها غالباً از جنس آهک و

اسلیت و فیلیت بوده که محل رخمنون آنها در بخش تقریباً میانی حوضه قرار گرفته و

اسکارپ زمین لغزش قدیمی نیز در این موقعیت ایجاد شده و همچنین با توجه به این

که بیشترین قطعات سنگ با ابعاد بزرگ در بخش انتهایی حوضه و در محدوده ناپایدار

لغزش LS1 هستند احتمال حمل آنها از بالا دست به پایین دست وجود ندارد.

افزایش غلظت رسوب در جریان‌های واریزه‌ای موجب افزایش زیری جریان

و در نتیجه برای یک مقدار دبی مشخص ژرفای جریان افزایش یافته و باعث

تشدید جریان و طغیان رودخانه‌ها می‌شود. چنانچه سیلاپ حاصل از حوضه و رابطه

هیدرولیکی عبور سیلاپ از مقطع رودخانه را بدن در نظر گرفتن جریان واریزه‌ای

برآورد نمایم، سیلاپ عوری از مقطع رودخانه چند برابر مقدار واقعی خواهد بود.

این مقدار اختلاف از محدوده خطاهای قابل قبول در برآورد بدء جریان خارج بوده

و نشانگر آن است که روش‌های آماری و مانینگ برای محاسبه سیلاپ جریان‌های

واریزه‌ای مناسب نیستند. در نهایت، با توجه به روابط مورد استفاده، مقدار دبی سیلاپ

معادل ۳۰۰ متر مکعب بر ثانیه در نظر گرفته شده است.

یکی از مهم‌ترین مشکلات رودخانه در محدوده شهرک، وجود تخته سنگ‌های

بزرگ است که به وسیله سیلاپ‌های گذشته به این محل حمل شده است (شکل ۹).

این سنگ‌ها در اثر سیلاپ به حرکت درآمده و باعث بروز خسارت می‌شوند.

همچنین این تخته سنگ‌ها باعث کاهش ظرفیت کشش رودخانه در این محدوده

هستند. ظرفیت عبوری فعلی رودخانه خلیل دشت و پل موجود روی آن در محل

وروودی شهرک مسوله با دهانه ۱۰/۲ متر و بیشترین ارتفاع ۳/۸ متر به منظور عبور

بیشینه ۱۰۰ متر مکعب بر ثانیه سیلاپ (در صورت رخداد سیلاپ با دبی بالاتر، پل

ماع جریان نشود) مناسب است، بنابراین در صورت رخداد سیلاپ با دبی بالاتر، پل

باد شده جوابگو نبوده و شهرک مسوله در خطر قرار دارد.

جریان‌های واریزه‌ای با توجه به قدرت تخربی فوق العاده، قادر به حمل

سنگ‌های بزرگ موجود در مسیر هستند. برای تعیین سرعت حمل سنگ‌هایی با

ابعاد L و h طول تخته سنگ در جهت جریان و h ارتفاع سنگ) در یک کانال

با ژرفای جریان L، روابط تجربی متعددی پیشنهاد شده و یکی از این روابط به شرح

زیر است (Vanoni, 2006):

$$Q_s = Q_0 / b$$

Q_0 : دبی رودخانه با دوره بازگشت ۱۰۰ ساله، b: عرض رودخانه.

با استفاده از فرمول بالا مقدار سرعت جریان در بالادست پل خلیل دشت حدود

۷/۷ متر بر ثانیه و مقدار سیلاپ معادل ۳۸۸ متر مکعب بر ثانیه برآورد شد.

ب) به منظور تعیین دبی اوج جریان واریزه‌ای (Qsp) از رابطه زیر استفاده

شد (Takahashi, 1991).

$$Q_{sp} = (C^*/(C^*-C_d)) * Q_p \quad (2)$$

C^* : غلظت حجمی رسوبات در حالت روی هم انباشته شده، Cd = غلظت حجمی

رسوبات در حال انتقال (برای حالتی که شب بستر بیش از ۲۰ درجه باشد (مثل شرایط

مسوله) معادل $C^*/9$ فرض می‌شود. در نتیجه مقدار داخل پراتر برابر ۱۰ است.

Q_p : دبی جریان سیلاپ معمولی حاصل از حوضه (سیلاپ با دوره بازگشت ۲ ساله)

و معادل ۳۳/۱ متر مکعب بر ثانیه است (جدول ۴).

Q_{sp} : دبی اوج جریان واریزه‌ای در نتیجه:

$$Q_{sp} = 10 * Q_p \quad Q_p = 33.1 \text{ m}^3/\text{s} \quad \rightarrow \quad Q_{sp} = 331 \text{ m}^3/\text{s} \quad (3)$$

ج) دبی جریان واریزه‌ای را می‌توان از رابطه زیر محاسبه نمود:

$$U = \phi \cdot U^* \quad (2) \quad U^* = \sqrt{g R S} \quad (3)$$

$$U = \varphi \cdot \sqrt{g R S} \quad (4)$$

Φ : ضریب سرعت، $g = \text{شتاب ثقل} (\text{m/s}^2)$ ، R: شعاع هیدرولیکی (m)، S: شب

طولی، U : سرعت، U^* : سرعت بر شی آبراهه می‌باشد.

تحقیقات، اندازه گیری‌ها و مشاهدات نشان داده‌اند که در جریان واریزه‌ای

می‌توان Φ را معادل ۳/۸۱ در نظر گرفت. به عنوان مثال اگر مقدار دبی بر اساس

مشخصات مقطع ۱ محاسبه شود مقادیر زیر به دست می‌آید:

$$U^* = \sqrt{9.81 * 2.43 * 0.09} = 1.46 \text{ m/s}$$

$$U = \Phi \cdot U^* = 3.81 * 1.46 = 5.6 \text{ m/s}$$

$$Q = A * U = 50.46 * 5.6 = 281.7 \text{ m}^3/\text{s}$$

نتایج حاصل از روش‌های مختلف در جدول ۵ ارائه گردیده است.

۱۰- نتیجه گیری

- شب متوسط وزنی حوضه معادل ۴۸ درصد و بیش از ۵۲ درصد مساحت حوضه

$$V_s = L/h [1.59 * ((\rho_s - \rho) / \rho) * g * h]^{1/3}$$

ps = وزن مخصوص رسو ب که معادل 2.5 ton/m^3 در نظر گرفته می‌شود.

ρ = وزن مخصوص آب بدون رسو ب که معادل 1 ton/m^3 است.

جدول ۲- مساحت و درصد سطحی واحدهای سنگی حوضه خلیل دشت

واحد زمین شناسی	مساحت هکتار	مساحت درصد
Pzs	۵۷/۸	۸/۵
P	۸۲/۲	۱۲/۱
T	۴۰/۱	۵/۹
Cs	۱۵۱	۲۲/۳
Kln	۷۰/۴	۱۰/۴
Ls	۲۷۶/۹	۴۰/۸
مجموع	۶۷۸/۴	۱۰۰

جدول ۳- مساحت زمین لغزش‌های مهم حوضه

نام زمین لغزش	مساحت(هکتار)	درصد از کل حوضه
Ls1	۱۲۵/۴	۱۸/۵
Ls2	۴۸/۸	۷/۲
Ls3	۲۵/۷	۳/۸
Ls4	۹/۸	۱/۵
Ls5	۵۴/۷	۸/۱
Ls6	۷/۹	۱/۲
Ls7	۴/۵	۰/۷

جدول ۴- مقادیر دبی حداکثر لحظه‌ای سیلاپ با دوره بازگشت‌های مختلف زیر حوضه خلیل دشت (m^3/s)

دوره بازگشت (سال)						نام ذیر حوضه	مساحت (هکتار)
۱۰۰	۵۰	۲۵	۱۰	۵	۲		
۹۹/۴	۸۹/۵	۷۶/۲	۶۳/۰	۴۹/۷	۳۳/۱	خلیل دشت	۶۹۴/۴

جدول ۵- دبی سیلاپ برآورده شده با روش‌های مختلف (m^3/s)

بده اوچ (m ³ /s)	روش برآورد
۹۹/۵	سیلاپ با دوره بازگشت ۱۰۰ ساله حاصل از روش تحلیل منطقه‌ای
۵۱۹	سیلاپ عبوری از مقطع رودخانه با استفاده از روش شب - سطح (فرمول مانینگ)
۳۸۸	سیلاپ واریزه‌ای حاصل از حوضه با استفاده از رابطه (۱)
۳۳۱	جیریان واریزه‌ای عبوری از مقطع رودخانه با استفاده از رابطه (۲)
۲۸۱/۷	سیلاپ واریزه‌ای حاصل از حوضه با استفاده از رابطه (۳)

در رده شیب ۳۰-۶۰ درصد قرار دارد. زمان تمرکز حوضه ۲۵ دقیقه و شیب متوسط آبراهه اصلی معادل ۳۹ درصد است. این ویژگی‌ها بیانگر پرشیب بودن حوضه خلیل دشت می‌باشد.

- ۴۰/۸ درصد از مساحت حوضه لغزشی است. تمرکز مناطق لغزشی در شمال و جنوب حوضه قرار دارد. بزرگترین زمین لغزش فعال حوضه Ls1، با مساحت تقریبی ۱۲۵ هکتار در منطقه جنگلی و در محدوده بین دو رودخانه خلیل دشت در خاور و دولی چال در شمال قرار دارد که به نوبه خود یک خطر بالقوه برای شهرک ماسوله بهشمار می‌آید. قطعات بسیار بزرگ سنگ ماسفون در توده لغزشی، در صورت رخداد سیل با دبی بالا، آزاد گشته و می‌تواند باعث بروز مشکلاتی برای شهرک ماسوله شوند.

- با توجه به وضعیت ریخت شناختی، توپوگرافی و ویژگی‌های فیزیکی منطقه ماسوله، زمین ساخت، ژرفای و بافت خاک، بارندگی بالا و کاربری‌های غیر اصولی (قطع درختان و چرای بی‌رویه)، پتانسیل تشید حرکت‌های توده‌ای وجود دارد. مناطق لغزشی یادشده از نظر تولید میزان رسوب رتبه اول را دارند.

- در جریان‌های واریزه‌ای همراه با رارسوبی زیاد و در مناطق کوهستانی و پرشیب استفاده از فرمول مانینگ برای محاسبه سیلاپ نتایج غیر واقعی به دست خواهد داد. از این رو، استفاده از روش یادشده برای شرایط مشابه مورد مطالعه توصیه نمی‌شود.

- بر اساس محاسبات انجام شده و با استفاده از روابط موجود، دبی جریان واریزه‌ای حدود ۳۰۰ متر مکعب بر ثانیه برآورده شده که گویای میزان بالای بارندگی در ارتفاعات حوضه و حجم بالای رسوبات حمل شده است.

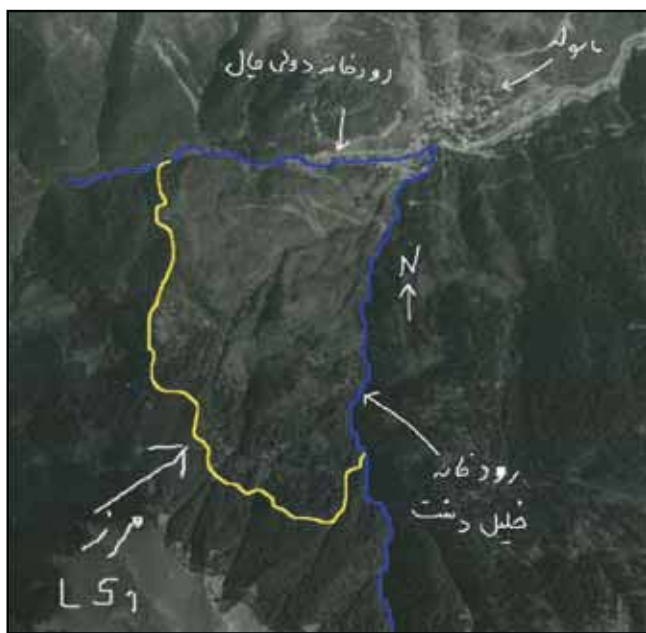
- عواملی از قبیل کوچک بودن حوضه، کوتاه بودن طول رودخانه، کم بودن شیب مراعت بالادست، وجود پرتگاه‌های متعدد در طول مسیر حرکت آب، تنگ بودن مسیر رودخانه در بعضی قسمت‌ها و حجم بودن سنگ‌ها، امکان حمل آنها از قسمت‌های بالاتر به پایین دست توسيع آب را منتفی می‌نماید.

- روش‌های آماری و مانینگ برای محاسبه سیلاپ جریان‌های واریزه‌ای مناسب نیستند.

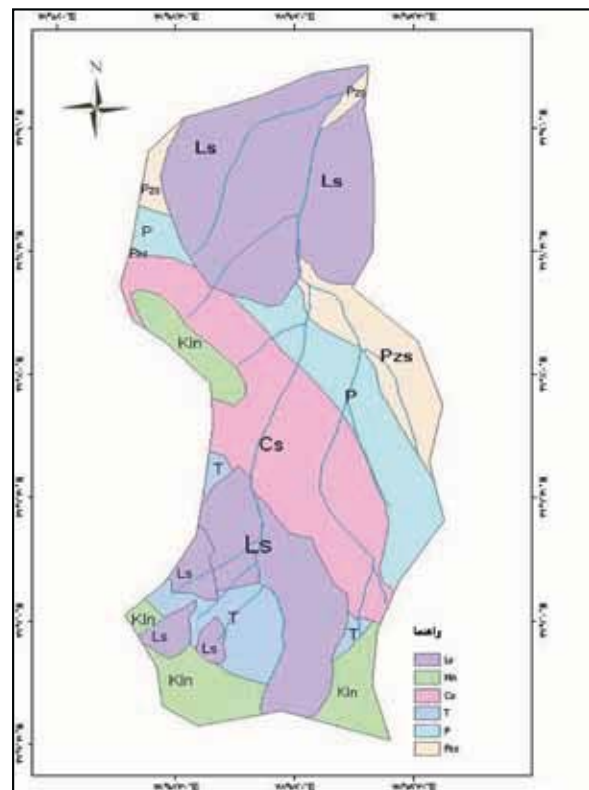
- مهم‌ترین مشکل رودخانه در محدوده شهرک، وجود تخته سنگ‌های بزرگ است که به وسیله سیلاپ‌های گذشته به این محل حمل شده‌اند. این امکان وجود دارد که این سنگ‌ها در اثر سیلاپ دوباره به حرکت در آمده و باعث بروز خسارت شوند. همچنین این تخته سنگ‌ها باعث کاهش ظرفیت عبوری رودخانه در این محدوده شده‌اند. با توجه به تعیین ظرفیت کشش رودخانه و پل موجود روی رودخانه خلیل دشت در محل ورودی شهرک ماسوله، این پل قادر به عبور بیشینه ۱۰۰ متر مکعب بر ثانیه سیلاپ است و در صورت وجود سیلاپ با دبی بالاتر این پل توان عبور جریان واریزه‌ای را نداشته و این مسئله برای شهرک مشکل ساز خواهد بود.

جدول ۱- خسارت ثبت شده ناشی از سیل در سال‌های مختلف

ردیف	سال وقوع	خطار وارد
۱	۱۳۱۳	۴ نفر کشته
۲	۱۳۶۹	ساختمان‌های زیادی خراب شده است.
۳	۱۳۷۲	تخرب اینی و تأسیسات و از بین رفتن ۳۲ دستگاه وسیله نقلیه
۴	۱۳۷۷	۳۰ نفر کشته، ۲۰ نفر مفقود، ۵۰ دستگاه وسیله نقلیه نابود و ۶ هتل و تعدادی ساختمان‌های دولتی مانند پاسگاه انتظامی، اداره برق و مخابرات آسیب دیده، کل خسارت حدود ۵ میلیارد ریال



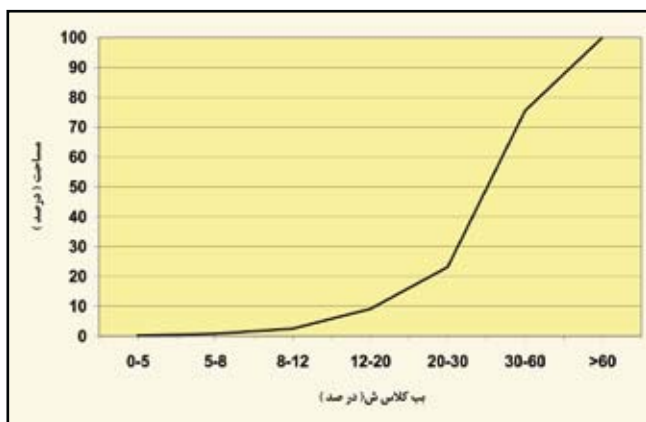
شکل ۳- موقعیت زمین لغزش Ls1 در رابطه با شهر ماسوله و رودخانه‌های بالا دست آن



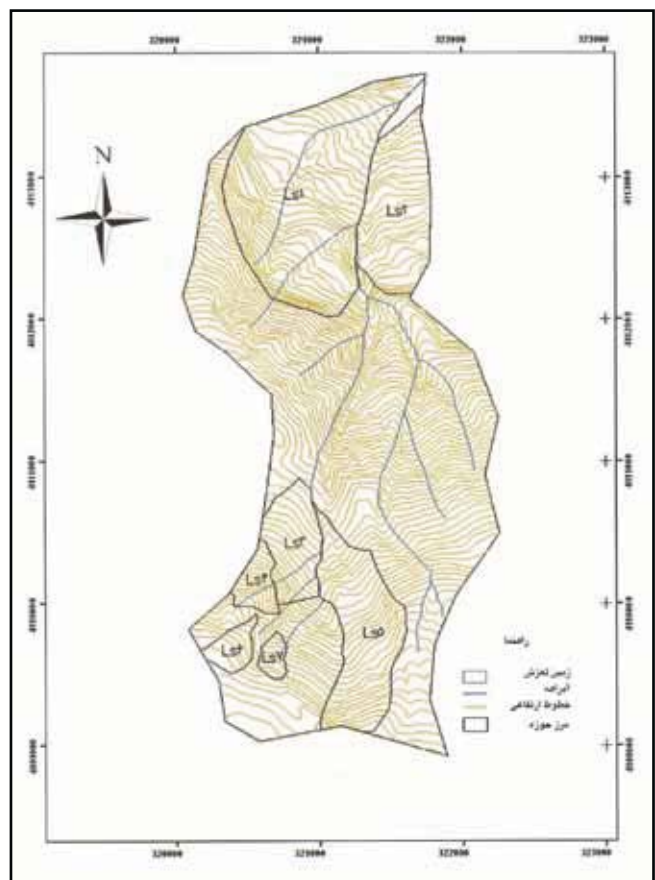
شکل ۱- نقشه زمین‌شناسی زیرحوضه خلیل دشت ماسوله



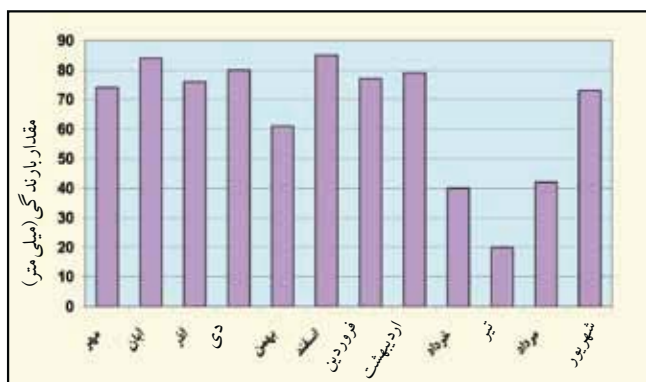
شکل ۴- تخته سنگ‌های بزرگ در ماتریکس مصالح ریزدانه زمین لغزش در ۷۰ متری ورود رودخانه به شهر



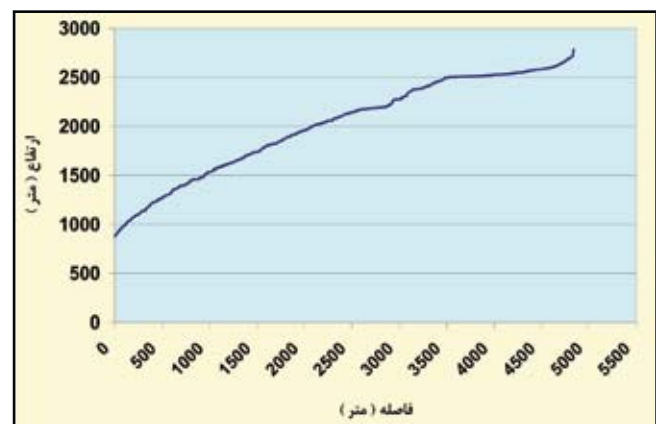
شکل ۵- منحنی هیپسومتری شب- سطح حوضه خلیل دشت



شکل ۲- نقشه پراکنش زمین لغزش‌های حوضه مورد مطالعه



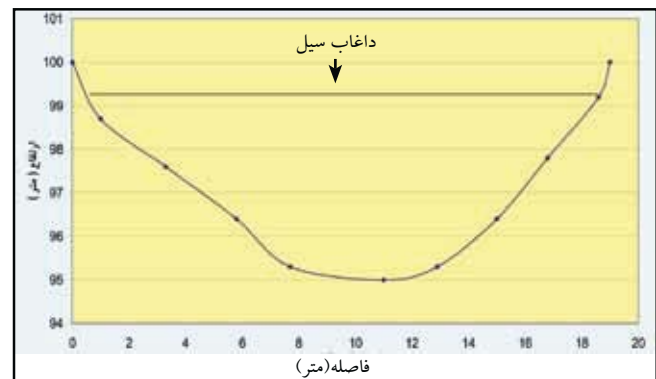
شکل ۷- مقدار بارندگی ماهانه ایستگاه باران سنجی ماسوله (میلی متر)



شکل ۶- نیمرو طولی آبراهه اصلی و فرعی حوضه خلیل دشت



شکل ۹- سنگ‌های موجود در بستر و دیوارهای رودخانه در بخش انتهایی حوضه



شکل ۸- بررسی عرضی شماره ۱ رودخانه بالادست پل خلیل دشت



شکل ۱۰- وجود دره‌های تنگ امکان حمل سنگ‌های عظیم الجثه توسط آب را منتفی می‌سازد (علامت پیکان ابعاد کاتال را نشان می‌دهد.)

کتابخانه

علیزاده، ا.، ۱۳۷۸- هیدرولوژی کاربردی، انتشارات رضوی

بنی حیب، م. ا.، ۱۳۷۸- تأثیر غلظت بالای رسوب در تشدید طغیان رودخانه‌ها، دومین کنفرانس هیدرولیک ایران ۱۳۷۸

References

- Berti, M., Genevois, R., Tecca, P., 1999- "Field observations of a debris flow event in the Dolomites", *Geomorphology* 29: 265- 274.
- Bertolo, P., Bottino, G., 2008- "Debris flow event in the Frangerello Stream – Susa Valley (Italy)- calibration of numerical models for the back analysis of the 16 October , 2000 rainstorm", *Journal of the Inter national Consortium on Landslide Vol. 5, no. 1.*
- Cojean, R., Staub, I., 1998- "Mecanismes d' initiation des laves torrentielles dans les Alpes francaises". In: Proceeding of 8 th International IAEG Congress, Vancouver, 21- 25 September 1998, pp 2075- 2082.
- Deganutti, A. M., Marchi, L., Artano, M., 2000- "Rainfall and debris- flow occurrence in the Moscardo basin (Italian Alps)", Wieczorek GF, Naeser ND (eds) (2000) Proceedings of the second International Conference on Debris Flow Hazards Mitigation, Taipei, Taiwan, pp 67- 72.
- Fatemiqomi, M., 2003- "Identification of Potential for Mud & Debris Flows (Kan Watershed)", International Institute For Geo – Information Science and Earth Observation Enschede , The NETHERLANDS
- Gaillardet, J., Dupre, B., Allegre, C. J., 1999- "Geochemistry of large river suspended sediments: silicate weathering or recycling tracer" *Geochim. Cosmochim Ac* 63: 4037- 4051
- Guzzetti, F., Peruccacci, S., Rossi, M., Stark, C. P., 2008- "Rainfall intensity- duration control of shallow landslides and debris flow". *Journal of the International Consortium on Landslide Vol.5, no.1.*
- Louvat, P., Allegre, C. J., 1997- "Present denudation rates in the island of Reunio determined by river geochemistry: basalt weathering and mass budget between chemical and mechanical erosions". *Geochim. Cosmochim Ac* 61: 3645- 3669.
- Lyons, W. B., Carey, A. E., Hicks, D. M., Nezat, C. A., 2005- "Chemical weathering in high- sediment- yielding watersheds, New Zealand". *J Geophys Res* 110: FO1008, doi: 10. 1029/ 2003 JF000088
- Millo, R. M., Gaillardet, J., Dupre, B., Allegre, C. J., 2002- "The global control of silicate weathering rates and the coupling with physical erosion: new in sights from rivers of the Canadian Shield". *Earth Planet Sc Lett* 196: 83- 98.
- Milton A. Kanji, Paulo T. Cruz, Faical Massad, 2008- "Debris flow affecting the Cubatao Oil Refinery , Brazil", *Journal of the Inter national Consortium on Landslide Vol.5, no.1.*
- Pasuto, A., Soldati, M., 2004- "An integrated approach for hazard assessment and mitigation of debris flows in the Italian Dolomites", *Geomorphology* 61: 265- 274.
- Rickenman, D., Zimmermann, M., 1993- "The 1987 debris flows in Switzerland: documentation and analysis". *Geomorphology* 8: 175- 193.
- Takahashi, T., 1976- "Freshet and Sediment Discharge in Mountain Basin" , Kyoto University Disaster Prevention Research Institute Annual, Report No. 19 – B, P 10, 1976
- Van Steijn, H., De Ruig, J., Hoozemans, F., 1988- "Morphological and mechanical aspects of debris flows in parts of the French Alps". *Z Geomorphol* 32(2): 143- 161.
- Vanoni, V. A., 2006- "Sedimentation Engineering", ASCE
- Zimmermann, M., 1990- "Debris Flows 1987 in Switzerland: geomorphological and meteorological aspects", *IAHS* 194: 387- 393.